



การพัฒนาแก้วสีขมพูที่ใช้อุณหภูมิการหลอมต่อ

กัญญา กกประเสริฐ^{1,2,*} และ ณัฐพล ศรีสิทธิ์โภคกุล^{1,2}

¹สาขาวิชาวิทยาศาสตร์และพิสิกส์ คณะวิทยาศาสตร์และเทคโนโลยี มหาวิทยาลัยราชภัฏนครปฐม, นครปฐม

²ศูนย์วิจัยแห่งความเป็นเลิศทางด้านแก้วและสุดศาสตร์, นครปฐม

*Nattapon2004@gmail.com

บทคัดย่อ

วัตถุประสงค์ของงานวิจัยนี้เพื่อเตรียมแก้วสีที่ใช้อุณหภูมิการหลอมต่อ พร้อมทั้งศึกษาสมบัติทางกายภาพ และสมบัติทางแสง ได้แก่ ความหนาแน่น ปริมาตรเชิงโมล ดัชนีหักเห และการคูดกลืนแสงของตัวอย่างแก้วที่เตรียมขึ้น ทำการเตรียมแก้วตามอัตราส่วน $6\text{P}_2\text{O}_5 : 15\text{B}_2\text{O}_3 : 15\text{CaO} : 10\text{SrO}$ และทำการหลอมที่อุณหภูมิสูงสุด 600 องศาเซลเซียส เป็นเวลา 3 ชั่วโมง จากนั้น เทแก้วใส่แม่พิมพ์แล้วอบในเตาไฟฟ้าที่อุณหภูมิ 300 องศาเซลเซียส นาน 3 ชั่วโมง จากนั้นวิเคราะห์ค่าความหนาแน่น ดัชนีหักเห และการคูดกลืนแสงของตัวอย่างแก้วที่เตรียมขึ้น จากนั้นทำการเตรียมแก้วสีโดยการใส่สารให้สี Er_2O_3 ที่มีปริมาณความเข้มข้นตั้งแต่ 0.0, 0.5, 1.0, 1.5, 2.0 และ 2.5 ร้อยละโดยโมล เข้าไปแทนที่ปริมาณของ P_2O_5 พบร่วงแก้วตัวอย่างที่ไม่ได้เติม Er_2O_3 จะได้แก้วที่มีลักษณะใสไม่มีสีเกิดขึ้น เมื่อเติม Er_2O_3 จะได้แก้วที่มีสีขมพูอ่อน และสีจะมีสีขมพูเข้มขึ้นเมื่อปริมาณความเข้มข้นของ Er_2O_3 เพิ่มมากขึ้น ค่าความหนาแน่นและค่าดัชนีหักเหมีแนวโน้มเพิ่มขึ้นตามปริมาณความเข้มข้นของ Er_2O_3 ที่เพิ่มมากขึ้น สวนทางกับค่าปริมาตรเชิงโมลที่มีแนวโน้มลดลงตามปริมาณความเข้มข้นของ Er_2O_3 ที่เพิ่มมากขึ้น จากการวิเคราะห์ค่าการคูดกลืนแสงในช่วงความยาวคลื่น 300 – 1,100 นาโนเมตร พบรückของค่าการคูดกลืนแสงทั้งหมด 9 พีค คือ 380, 407, 425, 450, 490, 520, 650, 800 และ 970 นาโนเมตร ซึ่งสอดคล้องกับค่าสีในระบบ CIE $L^*\text{a}^*\text{b}^*$

คำสำคัญ: อุณหภูมิการหลอมต่อ แก้วสี ความหนาแน่น



Development of pink glass using low melting temperatures

Kanya Kokprasert^{1,2,*}, and Nattapon Srisittipokakun^{1,2}

¹Physics Program, Faculty of Science and Technology, Nakhon Pathom Rajabhat University, Nakhon Pathom, 73000, Thailand

²Center of Excellence in Glass Technology and Materials Science (CEGM), Nakhon Pathom Rajabhat University, Nakhon Pathom, 73000, Thailand

* Nattapon2004@gmail.com

Abstract

The objective of this research is to prepare colored glass using low melting temperature as well as to study the physical and optical properties such as density, molar volume, refractive index and absorbance of the prepared glass samples. The glass was prepared according to the ratio of $60\text{P}_2\text{O}_5 : 15\text{B}_2\text{O}_3 : 15\text{CaO} : 10\text{SrO}$ and melted at 600°C for 3 hours, then poured the glass into the mold. The glass was then poured into a mold and anneal in an electric furnace at 300°C for 3 hr. Density, refractive index and optical absorption of the prepared glass samples were analyzed. The colored glass was then prepared by adding Er_2O_3 coloring agent with concentrations ranging from 0.0, 0.5, 1.0, 1.5, 2.0 and 2.5 ร้อยละโดยไม่ลด去 to replace the amount of P_2O_5 . It was found that the glass samples without Er_2O_3 added yielded clear, colorless glass. After adding Er_2O_3 , the glass was light pink and the color became darker pink as the concentration of Er_2O_3 increased. The density and refractive index tended to increase as the concentration of Er_2O_3 increased. On the other hand, the molar volume tends to decrease as the concentration of Er_2O_3 increases. From the absorbance analysis in the wavelength range 300 – 1,100 นาโนเมตร, 9 peaks of total absorbance were found, namely 380, 407, 425, 450, 490, 520, 650, 800 and 970 นาโนเมตร. Conforms to the color values in the CIE $L^*\text{a}^*\text{b}^*$ system.

Keywords: Low melting temperatures , Colored glass , Density

1. บทนำ

ในปี 2560 ประเทศไทยได้ส่งออกผลิตภัณฑ์เกี่ยวกับแก้วและกระจกมีมูลค่ากว่า 20,816 ล้านบาท [1,2] ซึ่งถือเป็นหนึ่งในอุตสาหกรรมที่ทำเงินรายได้เข้าสู่ประเทศไทยจำนวนมากอย่างต่อเนื่อง ประเทศไทยนั้นถือเป็นศูนย์กลางการผลิตแก้วและกระจกของภูมิภาคอาเซียนที่มีบริษัทขนาดใหญ่ ขนาดกลางและขนาดเล็กจำนวนมากกว่า 200 โรงงาน จึงนับได้ว่าอุตสาหกรรมแก้วเป็นอุตสาหกรรมที่สำคัญอุตสาหกรรมหนึ่งของประเทศไทย เนื่องจากมียังหลายอุตสาหกรรมที่ต้องพึ่งพาขั้นส่วนจากวัสดุแก้ว เช่น อุตสาหกรรมรถยนต์ เครื่องใช้ไฟฟ้า ก่อสร้าง อาหารและเครื่องดื่ม นอกจากนี้ตัวเลขของการส่งออกเฉพาะแก้ว ขวด และ

เครื่องแก้วบันโน้มอาหาร มีแนวโน้มขยายตัวร้อยละ 20-30 ซึ่งคิดเป็นมูลค่ารายได้ที่เข้าประเทศกว่าอีกหลายพันล้านบาท และยังเป็นการเพิ่มมูลค่าตัวถูกที่มีคุณภาพดีที่มีอยู่ในประเทศ เช่น ราย หินปูน โดโลไมต์ แรฟันมา ได้ออย่างคุ้มค่า อีกทั้งวัสดุแก้วยังเป็นมิตรต่อสิ่งแวดล้อม เพราะแก้วเป็นวัสดุที่สามารถนำกลับมาใช้ใหม่ได้ทั้งหมด (100% recyclable) แต่ในกระบวนการผลิตแก้วทั้งในอุตสาหกรรมแก้วใส และแก้วสีส่วนมากนิยมผลิตแก้วจากสารซิลิกา ซึ่งมีจุดหลอมเหลวค่อนข้างสูง โดยทั่วไปนิยมใช้อุณหภูมิในการหลอมอยู่ที่ 1,600 องศาเซลเซียส ซึ่งส่งผลทำให้ต้นทุนการผลิตด้านพลังงานมีค่าสูงมาก ทั้งนี้ในการทำแก้วนั้นยังสามารถใช้สารอื่นเป็นโครงสร้างหลัก เช่น เดียว กับสารซิลิกา เช่น B_2O_3 , TeO_2 หรือ P_2O_5 เป็นต้น [3-11] ดังนั้นในโครงการนี้จึงเป็นการพัฒนาแก้วสีชมพูที่ใช้อุณหภูมิการหลอมต่ำ เนื่องจากเป็นสีที่หายากในท้องตลาด

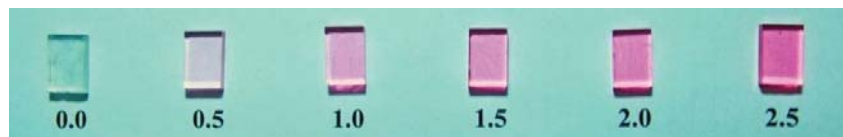
จากการสำรวจที่กล่าวมาข้างต้นนี้ทำให้ผู้วิจัยมีความสนใจที่จะเตรียมแก้วสีชมพูที่ใช้อุณหภูมิการหลอมต่ำ พร้อมทั้งศึกษาสมบัติทางกายภาพ และสมบัติทางแสง ได้แก่ ความหนาแน่น ปริมาตรเชิงโมล ดัชนีหักเห และการดูดกลืนแสงของตัวอย่างแก้วที่เตรียมขึ้น เพื่อเป็นแนวทางในการพัฒนาผลิตภัณฑ์แก้วในด้านต่าง ๆ ต่อไป

2. วิธีการทดลอง

งานวิจัยนี้ทำเพื่อเตรียมแก้วสีที่ใช้อุณหภูมิการหลอมต่ำ โดยทำการเตรียมแก้วตามอัตราส่วน แก้วจากสูตร $(60-x)P_2O_5 : 15B_2O_3 : 15CaO : 10SrO : xEr_2O_3$ แล้วทำการหลอมที่อุณหภูมิสูงสุด 600 องศาเซลเซียส เป็นเวลา 3 ชั่วโมง จากนั้นเทแก้วใส่แม่พิมพ์ แล้วทำการอบอ่อนในเตาไฟฟ้าที่อุณหภูมิ 300 องศาเซลเซียส นาน 3 ชั่วโมง จากนั้นวิเคราะห์ค่าความหนาแน่น ดัชนีหักเห และการดูดกลืนแสงของตัวอย่างแก้วที่เตรียมขึ้น จากนั้นทำการเตรียมแก้วสีโดยการใส่สารให้สี Er_2O_3 ที่มีปริมาณความเข้มข้น ตั้งแต่ 0.0, 0.5, 1.0, 1.5, 2.0 และ 2.5 ร้อยละโดยโมล เข้าไปแทนที่ปริมาณของ P_2O_5 จากนั้นปิดเตาให้อุณหภูมนิ่ลดลงจนถึงอุณหภูมิท้อง จึงนำแก้วออกจากเตา นำแก้วที่เย็นตัวแล้วไปขัดให้มีขนาด $1.0 \text{ ซม} \times 1.5 \text{ ซม} \times 0.3 \text{ ซม}$ หลังจากนั้นจึงมาศึกษาสมบัติทางกายภาพ และสมบัติทางแสง ได้แก่ ความหนาแน่น ปริมาตรเชิงโมล ดัชนีหักเห และการดูดกลืนแสง

3. ผลการวิจัย

จากการทดลองหลอมแก้วจากสูตร $60P_2O_5 : 15B_2O_3 : 15CaO : 10SrO : xEr_2O_3$ พบว่าแก้วตัวอย่างที่ไม่ได้เติม Er_2O_3 จะได้แก้วที่มีลักษณะใสไม่มีสีเกิดขึ้น เมื่อเติม Er_2O_3 จะได้แก้วที่มีสีชมพูอ่อน และสีจะเข้มขึ้นเมื่อปริมาณความเข้มข้นของ Er_2O_3 เพิ่มมากขึ้น แสดงในภาพที่ 1

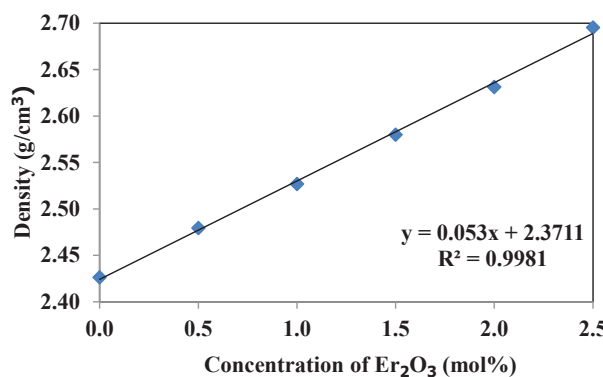


ภาพที่ 1 ลักษณะของแก้วตัวอย่างที่เติม Er_2O_3 ที่ได้จากการหลอม

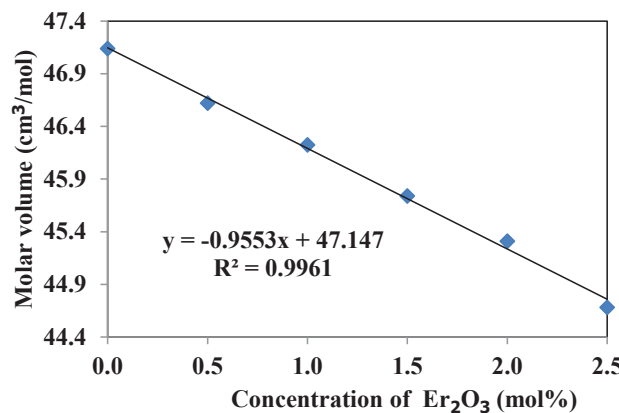
จากการวิเคราะห์ความหนาแน่นโดยใช้หลักการของอาร์คิมีดิส พบว่าค่าความหนาแน่นมีแนวโน้มเพิ่มขึ้นตามปริมาณความเข้มข้นของ Er_2O_3 ที่เพิ่มมากขึ้น ทั้งนี้เนื่องจากมวลโมเลกุลของ Er_2O_3 ที่มีค่ามากกว่า ได้เข้าไปแทนที่ P_2O_5 โดยมีค่าอยู่ระหว่าง 2.4263 ± 0.0002 ถึง 2.6953 ± 0.0003 กรัมต่อลูกบาศก์เซนติเมตร และเมื่อนำค่าที่ได้มาสร้างกราฟความสัมพันธ์ระหว่างความหนาแน่นกับความเข้มข้นของแก้วที่เติม Er_2O_3 สามารถแสดงได้ดังภาพที่ 2 โดยกราฟที่ได้มีค่าสัมประสิทธิ์สหสัมพันธ์



(R^2) เท่ากับ 0.9981 ส่วนค่าปริมาตรเชิงโมลได้จากการคำนวณ ตามอัตราส่วนระหว่างมวลโนเลกุลต่อความหนาแน่นของแก้ว ซึ่งมีแนวโน้มลดลงตามปริมาณความเข้มข้นของ Er_2O_3 ที่เพิ่มมากขึ้น ซึ่งมีค่าอยู่ระหว่าง 44.6805 ถึง 47.1407 ลูกบาศก์เซนติเมตรต่อโมล ได้เข้าไปจับพันธะกับออกซิเจนที่ไม่มีพันธะกับอะตอมของธาตุอื่น ๆ ที่อยู่ระหว่างโครงสร้างของแก้ว ทำให้ระยะห่างระหว่างอะตอมมีขนาดลดลงจึงทำให้โครงสร้างของแก้วเกิดการหดตัวลง ในงานวิจัยด้านวัสดุแก้วนี้จะเรียกสารเคมีที่เติมลงในโครงสร้างแก้วแล้วทำให้ปริมาตรเชิงโมลของแก้วเปลี่ยนแปลงไปว่า Network modifier และเมื่อนำค่าที่ได้มาสร้างกราฟความสัมพันธ์ระหว่างค่าปริมาตรเชิงโมลกับความเข้มข้นของแก้วที่เติม Er_2O_3 ดังแสดงในภาพที่ 3 กราฟที่ได้มีค่าสัมประสิทธิ์สหสัมพันธ์ (R^2) เท่ากับ 0.9961



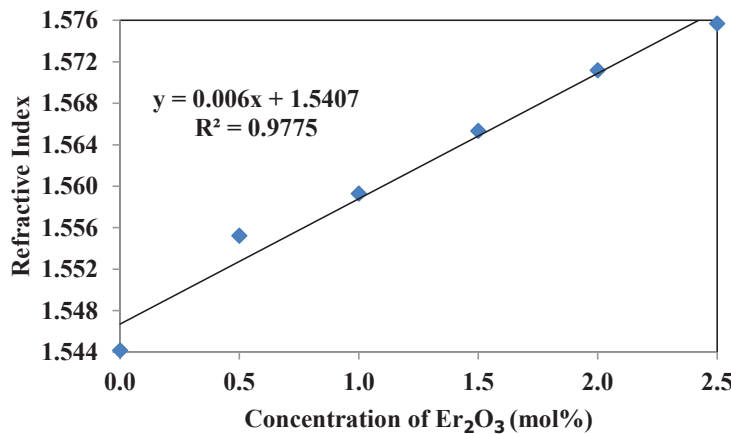
ภาพที่ 2 กราฟความสัมพันธ์ระหว่างความหนาแน่นกับความเข้มข้นของแก้วที่เติม Er_2O_3



ภาพที่ 3 กราฟค่าปริมาตรเชิงโมลของแก้วที่เติม Er_2O_3 ที่ความเข้มข้นต่าง ๆ

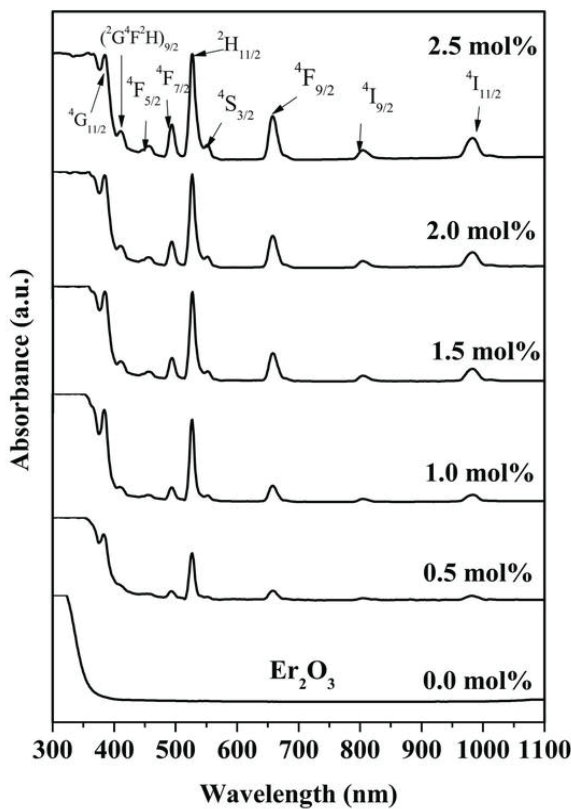
จากการวิเคราะห์หาค่าดัชนีหักเหของแก้วตัวอย่างที่เติม Er_2O_3 ที่มีความเข้มข้น 0.0, 0.5, 1.0, 1.5, 2.0 และ 2.5 ร้อยละโดยโมล โดยใช้เครื่อง Abbe refractometer พบว่าค่าดัชนีหักเหมีแนวโน้มเพิ่มขึ้นตามปริมาณความเข้มข้นของ Er_2O_3 ที่เพิ่มมากขึ้น ซึ่งมีค่าอยู่ระหว่าง 1.5442 ± 0.0001 ถึง 1.5757 ± 0.0001 โดยมีลักษณะเช่นเดียวกับความสัมพันธ์ของความหนาแน่น ซึ่งเป็นไปตามทฤษฎีโดยอิเล็กตริกแบบดั้งเดิมที่ว่าค่าดัชนีหักเหจะขึ้นอยู่กับค่าความหนาแน่น และสภาพการเกิดขึ้นได้

ของอะตอมในวัสดุ และเมื่อนำค่าที่ได้มาสร้างกราฟความสัมพันธ์ระหว่างค่าดัชนีหักเหกับความเข้มข้นของแก้วที่เติม Er_2O_3 ดังแสดงในภาพที่ 4 กราฟที่ได้มีค่าสัมประสิทธิ์สหสัมพันธ์ (R^2) เท่ากับ 0.9775



ภาพที่ 4 กราฟความสัมพันธ์ระหว่างค่าดัชนีหักเหกับความเข้มข้นของแก้วที่เติม Er_2O_3

จากการวิเคราะห์ค่าการดูดกลืนแสงในช่วงความยาวคลื่น 300 – 1,100 นาโนเมตร ของแก้วตัวอย่างที่เติมออกไซด์ของ Er_2O_3 ที่มีความเข้มข้น 0.0, 0.5, 1.0, 1.5, 2.0 และ 2.5 ร้อยละโดยไม่พบพิคของค่าการดูดกลืนแสงทั้งหมด 9 พีค คือ 380, 407, 425, 450, 490, 520, 650, 800 และ 970 นาโนเมตร ซึ่งเกิดจากการดูดกลืนพลังงานในสถานะพื้น ($^4\text{I}_{15/2}$) ไปยังสถานะกระตุ้น $^4\text{G}_{11/2}$, $(^2\text{G}^4\text{F}^2\text{H})_{9/2}$, $^4\text{F}_{3/2}$, $^4\text{F}_{5/2}$, $^2\text{H}_{11/2}$, $^4\text{F}_{9/2}$, $^4\text{I}_{9/2}$ และ $^4\text{I}_{11/2}$ ตามลำดับ โดยที่ความยาวคลื่นในช่วงในช่วง 800 และ 970 นาโนเมตร เป็นช่วงการดูดกลืนในช่วงอินฟราเรด ทำให้แก้วที่เติมมีสี ส่วนที่ความยาวคลื่นช่วงอื่น ๆ ที่กล่าวมามีการดูดกลืนแสงม่วง น้ำเงินและส้ม ทำให้สีของแก้วที่มีองเห็นมีสีชมพู ซึ่งสีจะเข้มขึ้นตามความเข้มข้นของปริมาณ Er_2O_3 ที่เพิ่มมากแสดงได้ในภาพที่ 5



ภาพที่ 5 กราฟการคูดกลีนแสงของแก้วที่เติม Er_2O_3 ความเข้มข้นต่างๆ ในช่วงความยาวคลื่น 300–1,100 นาโนเมตร

4. สรุปผลการวิจัย

ในการทดลองนี้ทางผู้วิจัยดำเนินการเตรียมแก้วสีชมพูที่ใช้อุณหภูมิการหลอมต่ำ พร้อมทั้งศึกษาสมบัติทางกายภาพ และสมบัติทางแสง ได้แก่ ความหนาแน่น ปริมาตรเรซิโนล ดัชนีหักเห และการคูดกลีนแสงของตัวอย่างแก้วที่เตรียมขึ้น โดยทำการเตรียมแก้วตามอัตราส่วน แก้วจากสูตร $60\text{P}_2\text{O}_5 : 15\text{B}_2\text{O}_3 : 15\text{CaO} : 10\text{SrO}$ แล้วทำการหลอมที่อุณหภูมิสูงสุด 600 องศาเซลเซียส เป็นเวลา 3 ชั่วโมง จากนั้นเทแก้วใส่แม่พิมพ์ แล้วทำการอบอ่อนในเตาไฟฟ้าที่อุณหภูมิ 300 องศาเซลเซียส นาน 3 ชั่วโมง จากนั้นวิเคราะห์ค่าความหนาแน่น ดัชนีหักเห และการคูดกลีนแสงของตัวอย่างแก้วที่เตรียมขึ้น จากนั้นทำการเตรียมแก้วสีโดยการใส่สารให้สี Er_2O_3 ที่มีปริมาณความเข้มข้นตั้งแต่ 0.0, 0.5, 1.0, 1.5, 2.0 และ 2.5 ร้อยละโดยไมล เข้าไปแทนที่ปริมาณของ P_2O_5 พบว่าแก้วตัวอย่างที่ไม่ได้เติม Er_2O_3 จะได้แก้วที่มีลักษณะใสไม่มีสีเกิดขึ้น เมื่อเติม Er_2O_3 จะได้แก้วที่มีสีชมพูอ่อน และสีจะเข้มขึ้นเมื่อปริมาณความเข้มข้นของ Er_2O_3 เพิ่มมากขึ้น ค่าความหนาแน่นและค่าดัชนีหักเหมีแนวโน้มเพิ่มขึ้นตามปริมาณความเข้มข้นของ Er_2O_3 ที่เพิ่มมากขึ้น ส่วนทางกับค่าปริมาตรเรซิโนลที่มีแนวโน้มลดลงตามปริมาณความเข้มข้นของ Er_2O_3 ที่เพิ่มมากขึ้นจากการวิเคราะห์ค่าการคูดกลีนแสงในช่วงความยาวคลื่น 300 – 1,100 นาโนเมตร พบรีดของค่าการคูดกลีนแสงทั้งหมด 9 พีค คือ 380, 407, 425, 450, 490, 520, 650, 800 และ 970 นาโนเมตร

5. ข้อเสนอแนะ

ควรทำการศึกษาการเกิดสีอื่น ๆ และศึกษาสมบัติอื่นเพิ่มเติมเพื่อใช้เป็นฐานข้อมูลในการประยุกต์ใช้งานในด้านต่าง ๆ



6. กิตติกรรมประกาศ

ขอขอบพระคุณมหาวิทยาลัยราชภัฏนครปฐม ที่ให้การสนับสนุนงบรายได้จากมหาวิทยาลัยราชภัฏนครปฐม ประจำปี ปีงบประมาณ 2565 ภายใต้โครงการวิจัยบูรณาการนักศึกษาและอาจารย์เพื่อการพัฒนาห้องถังและความเป็นเลิศทางวิชาการ ปีงบประมาณ 2565

7. เอกสารอ้างอิง

- [1] [http://www.ops3.moc.go.th/infor/MenuComTH/stru1_export/export_topn_re/report.asp\]](http://www.ops3.moc.go.th/infor/MenuComTH/stru1_export/export_topn_re/report.asp)
- [2] [<https://www.siamturakij.com/news/10787-ไทยเทคโนโลยีglas> “ส่องแสง” ใส่ใจสิ่งแวดล้อม นำเศรษฐกิจเหลือทิ้งต่อยอดสู่ผลิตภัณฑ์ใหม่ สร้างมูลค่าเพิ่ม]
- [3] El-Desoky M.M. (2005). **Characterization and transport properties of V_2O_5 - Fe_2O_3 - TeO_2 glasses.** Journal of Non-Crystalline Solids, Vol 351, pp. 3139–3146.
- [4] Krishna Kumari G., Muntaz Begum Sk., Rama Krishna Ch., Sathish D.V., Murthy P.N., Rao P.S., Ravikumar R.V.S.S.N. (2012). **Physical and optical properties of Co^{2+} , Ni^{2+} doped $20ZnO + xLi_2O + (30 - x)K_2O + 50B_2O_3$ ($5 \leq x \leq 25$) glasses: Observation of mixed alkali effect.** Materials Research Bulletin, Vol 47, pp. 2646–2654.
- [5] B Sudhaker Reddy and S Buddhudu. (2007). **Spectral analysis of Cu^{2+} and Mn^{2+} ions doped borofluorophosphate glasses.** Bull. Mater. Sci, Vol 30(5), pp. 481–486.
- [6] S. Cetinkaya Colak and E. Aral. (2011). **Optical and thermal properties of P_2O_5 - Na_2O - CaO - Al_2O_3 ; CoO glasses doped with transition metals.** Journal of Alloys and Compounds, Vol 509, pp. 4935–4939.
- [7] Padlyak B. and et al. (2006). **Spectroscopy of Mn-Doped Glasses of CaO - Ga_2O_3 - GeO_2 system.** Ukrainian Journal of Physical Optics, 7(1), 21.
- [8] V. Volpi and et al. (2016). **Optical and structural properties of Mn^{2+} doped $PbGeO_3$ - $SbPO_4$ glasses and glass-ceramics.** Journal of Non-Crystalline Solids, 431, 135–139.
- [9] BAHMAN MIRHADI, BEHZAD MEHDIKHANI. (2011). **Effect of manganese oxide on redox iron in sodium silicate glasses.** JOURNAL OF OPTOELECTRONICS AND ADVANCED MATERIALS, 13(10), 1309 – 1312.
- [10] G. Ravi Kumar and et al. (2018). **Role of Mn^{2+} ions on optical and luminescent properties of LiF - Sb_2O_3 - ZnO - B_2O_3 - SiO_2 glasses.** Optik - International Journal for Light and Electron Optics, 170, 156–165.
- [11] G. Murali Krishna and et al. (2007). **Characterization and physical properties of Li_2O - CaF_2 - P_2O_5 glass ceramics with Cr_2O_3 as a nucleating agent - Physical properties.** Journal of Solid-State Chemistry, 180, 2747–2755.